
INTRODUCCIÓN A LA TEORÍA DE REACCIONES NUCLEARES

EJERCICIOS DE CLASE - PROF. EDNA CAROLINA PINILLA.

A. F. Vargas-Londoño¹

¹*Departamento de Física, Universidad Nacional, Bogotá, Colombia*

Email: ¹anvargasl@unal.edu.co

20 de mayo de 2024

Ejercicio 4

- a) Reproduzca la Figura 3.6 del libro L.F. Canto & M. S. Hussein, *Scattering theory of molecules, atoms and nuclei* World Scientific, (2012) [1]. Utilice el potencial descrito en la sección 3.4.1 del mismo libro.
- b) Utilice el método de la matriz-R o Numerov para hallar los corrimientos de fase dados en la Figura 4 de [2]. Los elementos de matriz del operador cinético más el operador de Bloch están definidos en las ecuaciones (3.128) y (3.129) de [3].

Solución

La Figura 3.6 de [1] muestra el potencial efectivo entre dos partículas α , dado por la ecuación (1).

$$V_l^{eff}(r) = V_C(r) + \bar{V}(r) + \frac{\hbar^2 l(l+1)}{2\mu r^2} \quad (1)$$

Donde V_C representa el potencial Coulombiano, el cual está definido en dos regiones cuyo limite se encuentra en $R_C \approx 2R_\alpha$. Considerando un potencial partícula-esfera, puede asumirse que el potencial que siente una partícula α al estar “dentro” de la otra ($r < R_C$) es igual al de una partícula dentro de una esfera de radio R_c con carga $q = 2e$.

$$V_C(r) = \begin{cases} \frac{1}{4\pi\epsilon_0} \frac{4e^2}{r} & \text{for } r \geq R_C \approx R_P + R_T = 2R_\alpha \\ \frac{1}{4\pi\epsilon_0} \frac{4e^2}{2R_C} \left(3 - \frac{r^2}{R_C^2}\right) & \text{for } r < R_C \end{cases} \quad (2)$$

\bar{V} por otro lado, representa el potencial nuclear atractivo entre ambas partículas, el cual toma una forma gaussiana representada en la ecuación (3)

$$\bar{V}(r) = -V_0 e^{-r^2/R_C^2} \quad (3)$$

- a) Con esto es posible entonces reproducir la Figura 3.6 de [1] al tomar además los valores $V_0 = 60$ MeV y $R_C = a = 4.5$ fm (Fig. 1).

Incluyendo ahora el potencial de corto alcance $\bar{V}(r)$, la ecuación de Schrödinger toma la siguiente forma:

$$\left(\frac{-\hbar^2}{2\mu} \nabla^2 + \frac{Z_1 Z_2 e^2}{r} \right) \Psi(\vec{k}; \vec{r}) = \bar{V}(r) \Psi(\vec{k}; \vec{r}) + E \Psi(\vec{k}; \vec{r}) \quad (4)$$

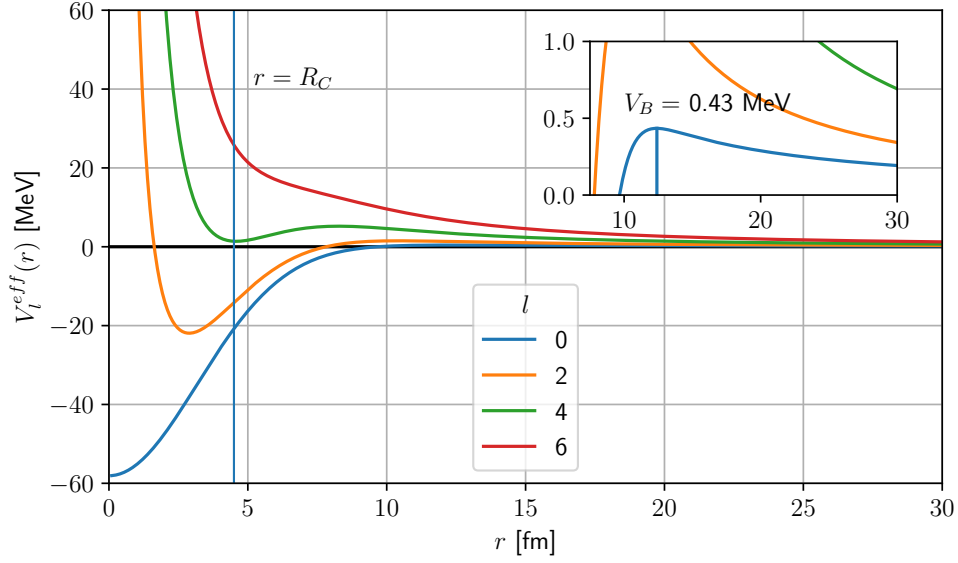


Figura 1: Potencial efectivo entre dos partículas α para distintos valores de l .

Introduciendo el parámetro de Sommerfeld η , esta ecuación puede reescribirse de forma compacta como se muestra en (5)

$$\frac{-\hbar^2}{2\mu} \left(\nabla^2 + k^2 - \frac{2\eta k}{r} \right) \Psi(\vec{k}; \vec{r}) = \bar{V}(r) \Psi(\vec{k}; \vec{r}) , \quad \eta = \frac{Z_1 Z_2 e^2}{\hbar \nu} , \quad \nu = \sqrt{\frac{2E}{\mu}} \quad (5)$$

Expandiendo en ondas parciales se tiene entonces una solución radial que satisface la siguiente ecuación:

$$\frac{-\hbar^2}{2\mu} \left(\frac{d^2}{d\rho^2} + 1 - \frac{l(l+1)}{\rho^2} - \frac{2\eta}{\rho} \right) u_l(k, \rho) = \bar{V}(r) u_l(k, \rho) , \quad \rho = kr \quad (6)$$

Cuya solución para $r > a$ (donde $r = a$ es la distancia a la cual $\bar{V}(r)$ se desvanece) es la ecuación de onda de Coulomb, dada por las funciones de Coulomb-Haenkel $H_l^{(\pm)}(\eta, \rho)$, teniendo entonces la forma:

$$u_l(k, r > a) = \frac{i}{2} [H_l^{(-)}(\eta, \rho) - \bar{S}_l H_l^{(+)}(\eta, \rho)] , \quad \bar{S}_l = e^{2i\delta_l} \quad (7)$$

En el intervalo $(0, a)$ la ecuación (5) no es hermítica dado que el hamiltoniano H_l no es hermítico, de modo que se introduce el operador de Bloch \mathcal{L} para restaurar la hermiticidad:

$$\mathcal{L} = \frac{\hbar^2}{2\mu} \delta(r - a) \frac{d}{dr} \quad (8)$$

resultando entonces en la ecuación de Schrödinger

$$(H_l + \mathcal{L} - E) u_l^{int}(r) = \mathcal{L} u_l^{ext}(r) \quad (9)$$

que es equivalente a las siguientes igualdades:

$$(H_l - E) u_l^{int} = 0 , \quad \left. \frac{du_l^{int}}{dr} \right|_a = \left. \frac{du_l^{ext}}{dr} \right|_a , \quad u_l^{int}(a) = u_l^{ext}(a) \quad (10)$$

donde $u_l^{int}(r)$ y $u_l^{ext}(r)$ representan respectivamente las ecuaciones de onda radiales en las regiones dentro ($r < a$) y fuera ($r > a$) del potencial de corto alcance. u_l^{int} puede expandirse ahora en una base de funciones de Lagrange, para este caso particular se toman las funciones de Lagrange-Legendre regularizadas y escaladas, ilustradas en (11)

$$\tilde{f}_j(x) = (-1)^{N+j} \left(\frac{x}{ax_j} \right) \sqrt{ax_j(1-x_j)} \frac{P_N(2x/a-1)}{x-ax_j} \quad (11)$$

siendo x_j las raíces tales que $P(2x_j-1) = 0$, esto puede simplificarse al evaluar en $x = a$, obteniendo así:

$$\tilde{f}_j(a) = \frac{(-1)^{N-j}}{ax_j(1-x_j)} \quad (12)$$

De modo que la expansión de la función de onda radial interna tiene la forma

$$u_l^{int}(r) = \sum_{j=1}^N c_j \tilde{f}_j(r) \quad (13)$$

reemplazando esto en (9) y proyectando sobre una función \tilde{f}_j en el espacio de coordenadas, es posible llegar al siguiente resultado para los coeficientes c_j de la expansión:

$$c_j = u_l^{ext}(a) \frac{\hbar^2}{2\mu} \sum_{i=1}^N C_{ji}^{-1} \tilde{f}_i(a) \quad (14)$$

donde C_{ji} son los elementos de matriz $\langle \tilde{f}_j | T_l + \mathcal{L} + V_{eff} - E | \tilde{f}_i \rangle$ ilustrados en las ecuaciones (15) a (17).

$$\langle \hat{f}_j | V^{eff}(r) - E | \hat{f}_i \rangle = (V_{eff}(ax_i) - E) \delta_{ij} \quad (15)$$

$$\langle \hat{f}_i | T + \mathcal{L} | \hat{f}_i \rangle = \frac{\hbar^2}{2\mu a^2} \frac{(4N^2 + 4N + 3)x_i(1-x_i) - 6x_i + 1}{3x_i^2(1-x_i)^2} \quad \text{for } i = j \quad (16)$$

$$\begin{aligned} \langle \hat{f}_j | T + \mathcal{L} | \hat{f}_i \rangle &= \frac{\hbar^2}{2\mu a^2} \frac{(-1)^{i+j}}{[x_i x_j (1-x_i)(1-x_j)]^{1/2}} \quad \text{for } i \neq j \quad (17) \\ &\cdot \left[N^2 + N + 1 + \frac{x_i + x_j - 2x_i x_j}{(x_i - x_j)^2} - \frac{1}{1-x_i} - \frac{1}{1-x_j} \right] \end{aligned}$$

Recordando ahora que: la R_l matriz es la inversa de la derivada logarítmica y las derivadas en la frontera $r = a$ deben ser iguales (10), se puede hacer el siguiente desarrollo al reemplazar c_j en la expansión de $u_l^{int}(r)$:

$$u_l^{int}(a) = \sum_{j=1}^N \left(u_l^{ext}(a) \frac{\hbar^2}{2\mu} \sum_{i=1}^N C_{ji}^{-1} \tilde{f}_i(a) \right) \tilde{f}_j(a) \quad (18)$$

$$= \sum_{j=1}^N \left(u_l^{int}(a) \frac{\hbar^2}{2\mu} \sum_{i=1}^N C_{ji}^{-1} \tilde{f}_i(a) \right) \tilde{f}_j(a) \quad (19)$$

$$= u_l^{int}(a) \frac{\hbar^2}{2\mu} \sum_{i,j=1}^N C_{ji}^{-1} \tilde{f}_i(a) \tilde{f}_j(a) \quad (20)$$

$$\rightarrow R_l = \frac{\hbar^2}{2a\mu} \sum_{i,j=1}^N C_{ji}^{-1} \tilde{f}_i(a) \tilde{f}_j(a) = \frac{1}{L_{int}(a)} \quad (21)$$

Tomando ahora la derivada logarítmica de la función de onda externa (7) se encuentra lo siguiente:

$$L_{ext}(a) = \frac{au_l'^{ext}(k, a)}{u_l^{ext}(k, a)} \quad (22)$$

$$= \frac{ka[H_l'^{(-)}(\eta, ka) - \bar{S}_l H_l'^{(+)}(\eta, ka)]}{[H_l^{(-)}(\eta, ka) - \bar{S}_l H_l^{(+)}(\eta, ka)]} = L_{int}(a) \quad (23)$$

$$\rightarrow \bar{S}_l = -\frac{kaH_l'^{(-)}(\eta, ka) - L_{int}(a)H_l^{(-)}(\eta, ka)}{kaH_l'^{(+)}(\eta, ka) - L_{int}(a)H_l^{(+)}(\eta, ka)} \quad (24)$$

$$= -\frac{kaR_l H_l'^{(-)}(\eta, ka) - H_l^{(-)}(\eta, ka)}{kaR_l H_l'^{(+)}(\eta, ka) - H_l^{(+)}(\eta, ka)} \quad (25)$$

De modo que encontrar la R matriz es suficiente para obtener los corrimientos de fase correspondientes recordando nuevamente la relación de la matriz de dispersión $S_l = e^{2i\delta_l}$.

- b) Dado que en este caso se estudiará la colisión $p+^{12}\text{C}$, es necesario entonces cambiar el potencial, teniendo así:

$$V_l^{eff}(r) = V_N + V_C + \frac{\hbar^2}{2\mu} \frac{l(l+1)}{r^2} \quad (26)$$

$$= -73.8e^{-(r/2.70)^2} + \frac{6e^2}{r} + \frac{\hbar^2}{2\mu} \frac{l(l+1)}{r^2} \quad (27)$$

Con esto es posible entonces reproducir la Figura 4 de [2] (Fig 2).

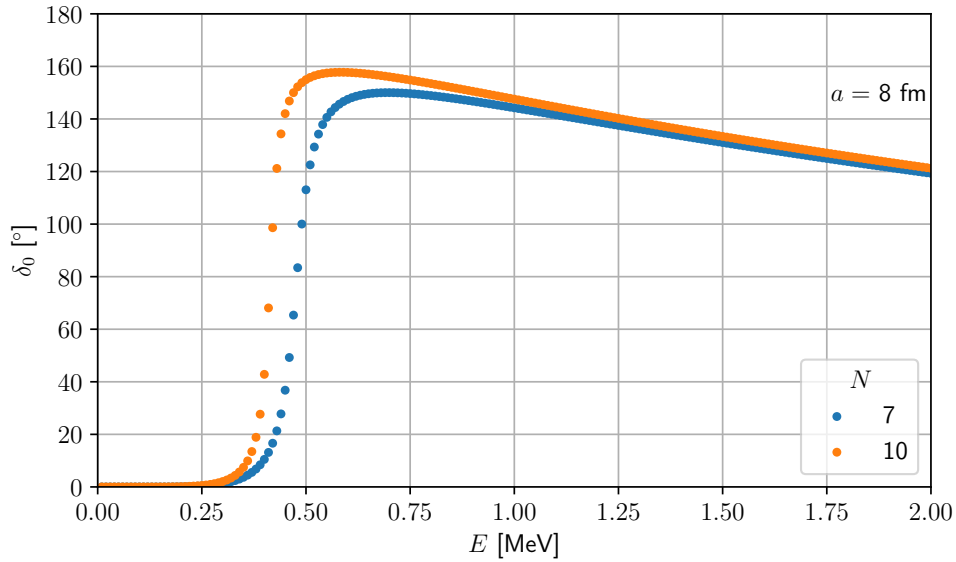


Figura 2: Corrimientos de fase calculados por el método de R-matriz para la colisión $p+^{12}\text{C}$, con $a = 8$ fm y $N = 7$ y 10 .

Referencias

- [1] Luiz Felipe Canto and Mahir S Hussein. *Scattering Theory of Molecules, Atoms, and Nuclei*. World Scientific, 2013.

- [2] Pierre Descouvemont and D Baye. The r-matrix theory. *Reports on progress in physics*, 73(3):036301, 2010.
- [3] Daniel Baye. The lagrange-mesh method. *Physics reports*, 565:1–107, 2015.